

◆ 生殖泌尿影像学

Routine SPECT/CT fusion imaging in diagnosis of bone metastasis patients with high-risk prostate cancer

ZHANG Linqi¹, QIN Yifang¹, LI Wei¹, ZHANG Rusen¹, WU Xiuqing¹,

YUAN Daozhang^{2*}, REN Zhigang¹, LI Wen¹, LI Jing², ZHONG Xi³

(1. Department of Nuclear Medicine, 2. Department of Urology, 3. Department of Radiology,
Cancer Center of Guangzhou Medical University, Guangzhou 510095, China)

[Abstract] **Objective** To explore the value of routine $^{99}\text{Tc}^{\text{m}}$ -MDP SPECT/CT image in diagnosis of bone metastasis for the patient with high-risk prostate cancer (PCa). **Methods** Totally 53 consecutive patients with newly diagnosed high-risk PCa were enrolled. All patients underwent whole-body scintigraphy (WBS), followed by whole-body SPECT/CT fusion imaging. Images of WBS and SPECT/CT were analyzed qualitatively. Sensitivity and accuracy of WBS, SPECT/CT in diagnosis of bone metastasis were calculated. **Results** Forty-six patients were included in the study. Bone metastases were confirmed in 20 patients with 85 lesions. The diagnosis accuracy of SPECT/CT was 89.13% (41/46) on a per-patient basis, significantly higher than that of WBS (27/46, 58.70%; $\chi^2=11.05$, $P=0.001$). Sensitivity of SPECT/CT in diagnosis of bone metastasis was 90.00% (18/20) on a per-patient basis, significantly higher than that of WBS (7/20, 35.00%; $\chi^2=12.91$, $P<0.001$). The diagnosis accuracy of SPECT/CT was 97.84% (136/139) on all per-lesion basis, significantly higher than that of WBS (98/139, 70.50%; $\chi^2=38.99$, $P<0.001$); Sensitivity of SPECT/CT in diagnosis of bone metastasis was 100% (85/85) on all per-lesion basis, significantly higher than that of WBS (76/85, 89.41%; $\chi^2=9.50$, $P=0.002$). **Conclusion** SPECT/CT contributes to early detection and exact diagnosis of bone metastases.

[Key words] Prostate neoplasms; Bone; Neoplasm metastases; Tomography, emission-computed, single-photon; Isotope labeling

DOI: 10.13929/j.1003-3089.201607124

常规 SPECT/CT 断层融合显像诊断高危 前列腺癌患者骨转移

张林启¹, 覃艺芳¹, 李伟¹, 张汝森¹, 伍秀青¹, 袁道彰^{2*},

任志刚¹, 李雯¹, 李靖², 钟熹³

(1. 广州医科大学附属肿瘤医院核医学科, 2. 泌尿外科, 3. 放射科, 广东 广州 510095)

[摘要] **目的** 探讨常规 SPECT/CT 断层融合显像诊断高危前列腺癌患者骨转移的价值。**方法** 前瞻性连续的收集 53 例初诊为高危前列腺癌的患者进行常规全身骨显像(WBS)及 SPECT/CT 断层融合显像; 对所有患者病灶的 WBS、SPECT/CT 图像进行定性分析, 计算 WBS、SPECT/CT 显像诊断前列腺癌骨转移的准确率。**结果** 符合纳入标准的患者 46 例, 20 例患者共 85 个病灶确诊为骨转移; 以患者为单位, SPECT/CT 的诊断准确率为 89.13% (41/46), 明显高于 WBS (27/46, 58.70%; $\chi^2=11.05$, $P=0.001$), SPECT/CT 诊断骨转移的灵敏度为 90.00% (18/20), 高于 WBS [35.00% (7/

[基金项目] 广东省医学科学技术研究基金(A2016611)。

[第一作者] 张林启(1987—), 男, 湖南郴州人, 硕士, 医师。研究方向: 肿瘤核医学。E-mail: zhanglinqi0909@163.com

[通信作者] 袁道彰, 广州医科大学附属肿瘤医院泌尿外科, 510095。E-mail: daozhangyuan@163.com

[收稿日期] 2016-07-29 **[修回日期]** 2016-11-21

20); $\chi^2=12.91, P<0.001$;以病灶为单位 SPECT/CT 诊断的准确率为 97.84% (136/139), 高于 WBS[70.50% (98/139); $\chi^2=38.99, P<0.001\chi^2=9.50, P=0.002$]。结论 常规 SPECT/CT 断层融合显像能早期发现、准确诊断高危前列腺癌患者的骨转移。

[关键词] 前列腺肿瘤;骨;肿瘤转移;体层摄影术,发射型计算机,单光子;同位素标记

[中图分类号] R737.25; R814.42 [文献标识码] A [文章编号] 1003-3289(2017)02-0260-05

前列腺癌是男性泌尿生殖系统发病率最高的肿瘤,是否有远处转移是决定其预后的主要因素,骨骼是前列腺癌最常发生转移的器官^[1]。目前,^{99m}Tc-MDP 是全身骨显像(whole-body scintigraphy, WBS)最常用的显像剂,对骨异常的灵敏度高,但特异度较低^[2]。通过 SPECT/CT 同机融合显像新技术可将 SPECT 的功能性与 CT 的解剖性信息结合,可提高骨显像的诊断准确率^[3]。本研究分析 46 例初诊为高危前列腺癌患者的临床及^{99m}Tc-MDP SPECT/CT 断层融合显像资料,探讨常规 SPECT/CT 断层融合显像诊断高危前列腺癌患者骨转移的价值。

1 资料与方法

1.1 一般资料 对 2014 年 7 月—2016 年 2 月广州医科大学附属肿瘤医院泌尿外科连续收治的 53 例初诊为前列腺癌的患者进行多学科协作研究。纳入标准:①有明确的病理诊断结果,且病理类型为原发性前列腺腺癌。②患者初次就诊时未接受过任何形式的有关前列腺癌的治疗;③一般情况良好,无严重肝肾功能异常。④前列腺特异抗原(prostate specific antigen, PSA) $\geq 20 \text{ ng/ml}$ 或 Gleason 评分 ≥ 8 或临床分期 $\geq T3$ 或符合以下中任意两项:临床分期 $\geq T2b/c$ 、Gleason 评分 ≥ 7 、PSA $\geq 10 \text{ ng/ml}$;⑤MR 怀疑骨转移。排除标准:①WBS 显示典型骨转移患者(弥漫随机放射性异常分布灶及超级骨显像);②同时伴其他恶性肿瘤;③最后未明确诊断的患者。

1.2 仪器与方法 采用 Philips Precedence SPECT/CT 扫描仪(配备低能高分辨力准直器及 6 排螺旋 CT),静脉注射 20 mCi ^{99m}Tc-MDP, 2~4 h 后排空膀胱,仰卧于扫描床上,采集 WBS 图像。由 1 名经验丰富的核医学科医师分析 WBS 图像后,确定 SPECT/CT 断层融合显像范围:①对所有阳性病灶行 SPECT/CT 断层融合显像,余中轴骨行 CT 平扫;②若 WBS 未见异常,常规行骨盆及下腰椎 SPECT/CT 断层融合显像,余中轴骨行 CT 平扫。SPECT/CT 断层融合显像前,先行中轴骨 CT 平扫(含断层融合区域 CT 解剖定位),CT 扫描参数:管电压 120 keV, 管电流 130 mA, 视野 400 mm, 层厚 5 mm, 层间距 2.5 mm;

CT 扫描完后,再行 SPECT 显像。最后采用 Philips Jet Steam Workspace 融合软件融合及分析 SPECT/CT 图像。

1.3 图像分析 由 2 名经验丰富的核医学医师和 1 名经验丰富的放射科医师独立、盲法阅片。阅片医师仅知道患者的临床信息是前列腺癌,分别单独分析 WBS、SPECT/CT 图像。所有病灶定性为 0~3 级:0 级,正常;1 级,良性或偏良性病变;2 级,性质不确定病变;3 级,恶性或偏恶性病变(骨转移)。患者的级别以本患者所有病灶的最高级别为准。

1.4 诊断标准 WBS 的诊断标准:①0 级,全身未见放射性异常分布。②1 级,放射性异常病灶位于外伤、骨折部位;四肢关节放射性异常病灶呈对称性异常分布等。③2 级,WBS 提示可能良性或可能恶性的病灶。④3 级,全身骨骼见多个不对称的放射性异常分布灶(≥ 3 个);长骨骨干放射性异常分布灶或累及毗邻关节,或呈孤立性病灶;脊椎放射性异常病灶位于椎体内;肋骨放射性异常病灶沿肋骨走行。

SPECT/CT 图像诊断标准:①0 级,SPECT 未见放射性异常分布,CT 未见异常密度影。②1 级,全身骨扫描、SPECT 图像提示为良性病变的部位 CT 图像上具有良性病变的征象,如退行性改变(骨质增生、关节硬化)或骨折线,或诊断为骨囊肿、骨岛、骨纤维异常增殖症等其他良性病变、良性骨肿瘤等,提示为良性病变。③2 级,SPECT 图像提示可能良性或可能恶性的部位,CT 图像上无特征性的改变。④3 级,全身骨显像和 CT 均发现病灶,CT 图像上有成骨性或溶骨性改变等骨质破坏征象。

前列腺癌骨转移诊断的“金标准”:①病理确诊骨转移;②MRI 或者 PET/CT 等其他影像学检查均支持骨转移;③对不明确的病灶均至少随访 6 个月,SPECT/CT 或其他影像检查发现病灶增大或增多等进展征象;对于随访 12 个月无改变的病灶,则诊断为良性。

1.5 统计学分析 采用 SPSS 19.0 统计分析软件。分别以“患者”和“病灶”为基本分析单位,计算 WBS 和 SPECT/CT 显像的诊断的灵敏度、准确率,两者间的比较采用 χ^2 检验。以 $P<0.05$ 为差异有统计学意义。

2 结果

2.1 以“患者”为基本分析单位 53例初诊前列腺癌骨转移患者进行了常规SPECT/CT融合显像。截止至2016年7月20日最后一次随访,7例患者(3例失访,4例灶影像征象无特殊未能诊断良恶性)未能明确是否有骨转移而剔除研究,最终纳入患者46例,年龄49~87岁,平均(68.2 ± 9.7)岁,20例患者明确诊断为骨转移(其中9例同时伴退行性变,2例同时伴外伤性骨折),18例诊断良性病变(退行性变10例,外伤性骨折4例,老年压缩性骨折2例,良性骨肿瘤2例),8例WBS及SPECT/CT均阴性,经长期随访诊断为正常;骨转移的发生率为43.48%(20/46),退行性变的发生率为41.30%(19/46),外伤性骨折的发生率为13.04%(6/46),老年压缩性骨折及良性肿瘤的发生率均为4.35%(2/46)。

WBS诊断0级10例、1级12例、2级15例、3级9例。与最终诊断比较:10例0级病变患者中,2例假阴性,其中1例因尿潴留膀胱显影明显与骨转移灶重叠漏诊(图1),1例由于病灶位于侧肋而骨骼显影重叠漏诊。12例1级病变的结果与最终诊断均相符,均为真阴性。15例2级病变患者,11例患者最终诊断为骨转移,4例为良性病变。9例3级病变患者,7例与最终结果相符,2例为良性病变(假阳性),其中1例多发外伤性骨折,另1例同时存在老年压缩性骨折和外伤性骨折(图2)。WBS诊断准确率为58.70%(27/46),诊断骨转移的灵敏度为35.00%(7/20)。

SPECT/CT融合显像诊断0级8例、1级16例、2级4例、3级18例。与最终诊断比较:8例诊断为0级的患者,随访中均未出现新病灶,均真阴性;16例诊断为1级的患者,1例为假阴性,初诊误诊为肋椎关节退变,随访病变病灶增大,骨质破坏明显,最终诊断骨转移(图3),4例诊断为2级的患者,1例证实为骨转移,3例为良性病变(1例良性肿瘤、1例老年压缩性骨折、1例腰椎退变);18例诊断为3级的患者,均证实为骨转移,均为真阳性。SPECT/CT融合显像诊断的准确率为89.13%(41/46),诊断骨转移的灵敏度为90.00%(18/20)。

SPECT/CT融合显像诊断

的准确率高于WBS($\chi^2 = 11.05, P = 0.001$),诊断骨转移的灵敏度高于WBS,差异均有统计学意义($\chi^2 = 12.91, P < 0.001$)。

2.2 以“病灶”为基本分析单位 共发现139处病灶,其中良性病灶54处,恶性病灶85处,分布见表1,常见转移部位为肋骨、腰椎、胸椎及骨盆。

WBS发现恶性病灶76处,漏诊9处(颈椎2处、肋骨3处、骨盆3处、胸椎1处),其中1处肋骨及1处胸椎恶性病灶因不摄取核素,7处恶性病灶位于特殊位置(重叠)致假阴性而漏诊。发现良性病灶32处,漏诊22处(胸骨1处、肋骨4处、颈椎7处、胸椎2处、腰椎5处、骨盆3处);WBS诊断准确率为70.50%(98/139);诊断骨转移灶的灵敏度为89.41%(76/85)。

表1 46例前列腺癌高危骨转移患者良性与恶性骨病灶的分布(处)

部位	良性	恶性	总计[处(%)]
颅骨	1	0	1(0.72)
肩胛骨	3	2	5(3.60)
胸骨	1	0	1(0.72)
肋骨	16	18	34(24.46)
颈椎	9	3	12(8.63)
胸椎	5	24	29(20.86)
腰椎	14	18	32(23.02)
骨盆	4	19	23(16.55)
四肢长骨	1	1	2(1.44)
合计	54	85	139(100)

SPECT/CT均发现85处恶性病灶,CT均提示明确的骨质破坏(75处为单纯成骨性骨质破坏,7例混合

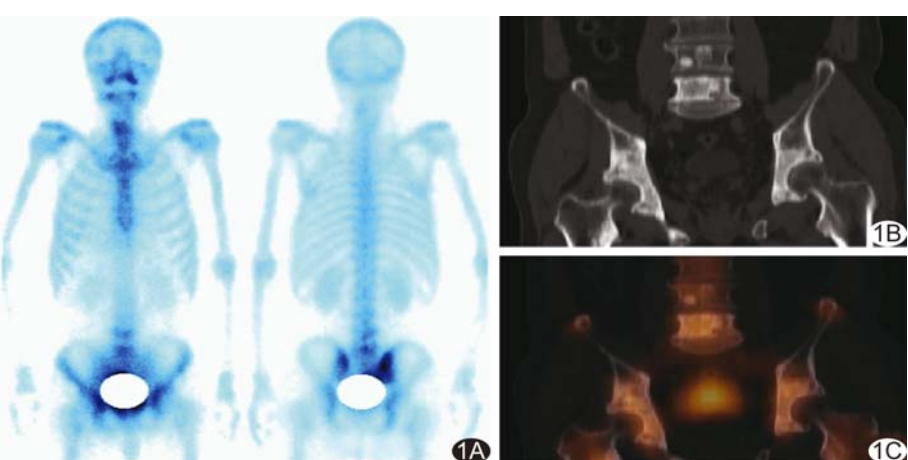


图1 患者男,59岁,PSA 389.6 ng/ml, Gleason评分8分,T3期 A. 全身骨显像示膀胱内尿液掩盖部分骨盆骨骼,仅见右侧骶髂关节放射性分布略增高; B.C. SPECT/CT图像示L4、5椎体,双侧髂骨,双侧髋臼多发成骨性骨质破坏,诊断为前列腺癌骨转移

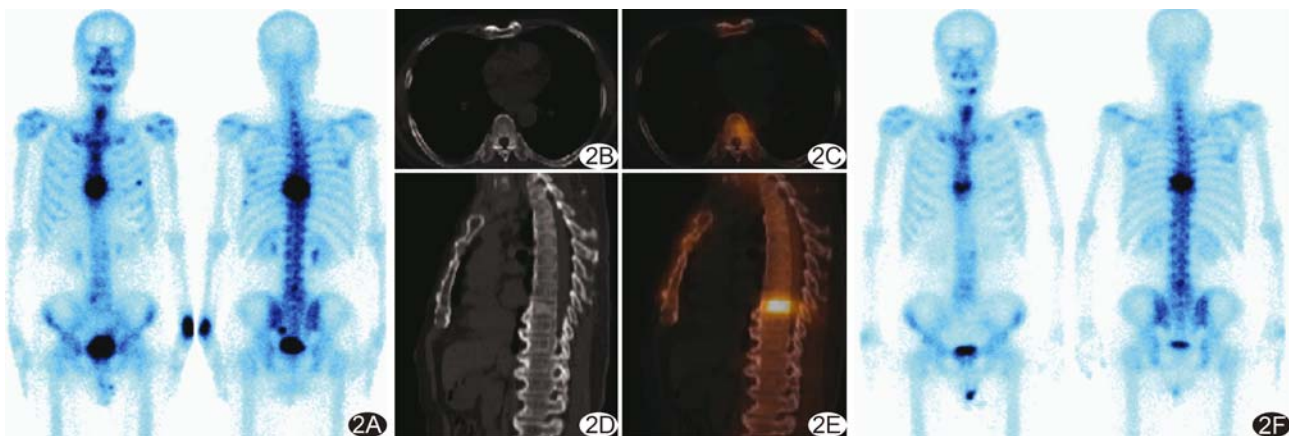


图2 患者男性,72岁,PSA 16.4 ng/ml, Gleason评分8分,T2期 A.全身骨显像示左侧第5前肋、第8侧肋、T8椎体及左侧骶髂关节多处骨放射性分布异常;B~E.SPECT/CT图像示左侧第5前肋、第8侧肋骨皮质对称性略增厚,诊断外伤后改变;T8椎体压缩呈楔形改变,诊断老年性压缩性骨折;左侧骶髂关节区异常分布为体外污染;F.随访1年,全身骨显像示T8椎体病灶无明显变化,左侧第5前肋及第8侧肋骨代谢减低

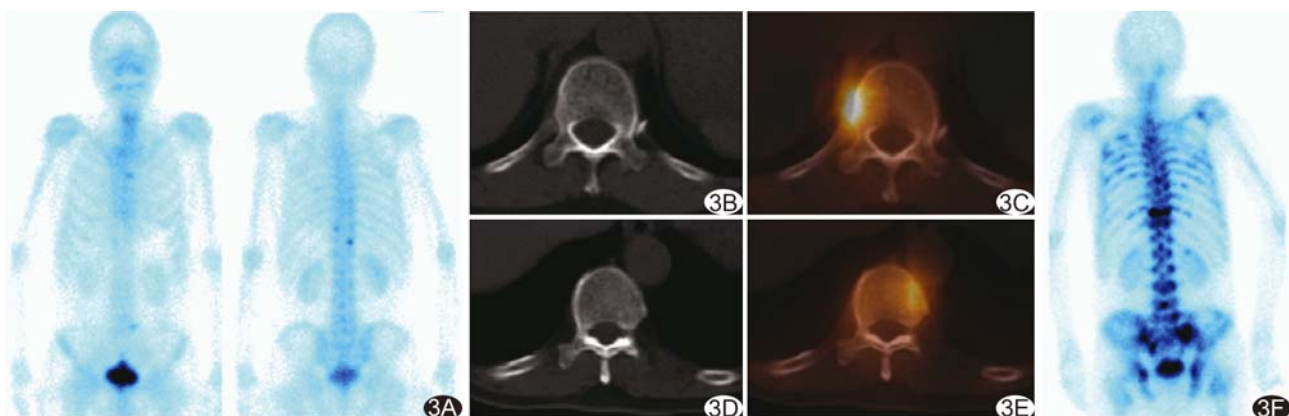


图3 前列腺癌初诊患者,男性,67岁,PSA 10.2 ng/ml, Gleason评分9分,T3期 全身骨显像(A)示左侧T10、11椎体骨放射性分布略增高;SPECT/CT图像(B~E)示T10椎体左份及T11椎体右侧肋椎关节骨密度略增高,误诊胸椎退行性变;患者接受前列腺癌根治术半年后复查,PSA达199.1 ng/ml,全身骨显像(F)示全身多发骨转移

型骨质破坏,无单纯性溶骨性骨质破坏),3处恶性病灶初诊时SPECT/CT仅见局部放射性异常浓聚,骨密度正常,随访中出现成骨性骨质破坏。发现良性病灶51处,漏诊3处,由于SPECT/CT上无特殊良恶性征象,随访证实为良性病灶;SPECT/CT的诊断准确率为97.84%(136/139),诊断骨转移灶的敏感度为100%(85/85)。

SPECT/CT诊断准确率高于WBS($\chi^2 = 38.99$, $P < 0.001$),诊断骨转移的灵敏度均高于WBS($\chi^2 = 9.50$, $P = 0.002$),差异均有统计学意义。

3 讨论

前列腺癌的预后主要取决于是否有远处转移,而前列腺癌最常发生的转移靶器官是骨骼,因此提高前列腺癌骨转移诊断的灵敏度和特异度是临床关注的重点。PSA、碱性磷酸酶(alkaline phosphatase, ALP)能

一定程度上提示骨转移的存在,但特异度不高,尚需其他客观指标辅助确诊。目前前列腺癌骨转移的诊断主要还需依靠影像学检查,常用方法有X线、CT、MRI、PET/CT以及 $^{99}\text{Tc}^{m}$ -MDP骨显像^[4-7]。

WBS是目前寻找骨转移灶最为敏感的检查方法,常早于X线3~6个月即可发现病灶,前列腺癌骨转移常见部位有腰椎和骨盆,而膀胱内尿液放射性分布易掩盖骨盆转移,而造成假阴性结果^[8]。随着医学影像技术的飞速发展,图像融合技术已经广泛应用于临床,最近出现的SPECT/CT同机融合显像新技术,可将SPECT的灵敏度与CT的解剖的特异度有机地结合起来,为临床提供了更多的诊断信息^[3,9]。

本研究中最终纳入46例初诊前列腺癌骨转移患者,WBS正确诊断27例,准确率仅为58.70%(27/46);而加做SPECT/CT融合显像后,正确诊断41例

患者,诊断的准确率提高至 89.13% (41/46);5 例误诊的病例中,1 例伴骨转移而被误诊为良性肋椎关节退行性变(因病灶发生在肋椎关节部位,且表现为关节周围骨密度略增高),另有 4 例患者仍不能明确病灶的性质(最终随访中,1 例证实为骨转移,另 3 例为良性病变)。WBS 诊断的准确率不高,主要原因是其他多种病变如骨骼的创伤、关节的退行性疾病、感染性疾病等均可引起骨骼对^{99m}Tc-MDP 摄取的增高,从而导致骨转移诊断假阳性的出现^[2]。并且前列腺癌患者主要为老年男性,易伴有关节疾病、外伤骨折,出现假阳性的概率更大^[10]。在本研究中,63.04% (29/46) 的前列腺癌患者合并其他良性病变,其中退行性变的发生率为 41.30% (19/46),外伤性骨折的发生率为 13.04% (6/46),老年压缩性骨折和良性肿瘤的发生率均为 4.35% (2/46)。WBS 对这些病变造成假阳性,但常规 SPECT/CT 断层融合显像后,SPECT/CT 可准确定位病灶的解剖位置,CT 可清楚显示病灶的骨皮质及骨小梁的细微结构,明确病变性质,故诊断准确率显著提高^[9]。

本研究共 85 处骨转移病灶,WBS 发现 76 处,漏诊病灶 9 处,其中 1 处肋骨与 1 处胸椎病灶因不摄取放射性,另 7 处均为病灶位置特殊(重叠)导致假阴性结果,WBS 诊断骨转移灶的敏感度为 89.41% (76/85)。因 WBS 是平面显像,骨骼重叠,当病灶位于颈椎、侧肋或骨盆与膀胱重叠区等均可造成假阴性,而容易出现漏诊。常规 SPECT/CT 融合显像后,发现了本研究纳入的所有病灶(85 处),78 处为成骨性骨质破坏,7 例混合型骨质破坏,故本研究中,SPECT/CT 诊断转移灶的敏感度为 100%。研究^[11-12] 报道,前列腺癌骨转移约 90%以上的患者会出现成骨性转移,因此 SPECT 探测前列腺癌骨转移敏感度高(成骨细胞活动能显著增加^{99m}Tc-MDP 摄取)。因 CT 解剖分辨率高,故全身中轴骨 CT 扫描可避免全身骨显像解剖重叠造成的假阴性的出现^[13-14]。

总之,常规 SPECT/CT 断层融合显像诊断骨转移的敏感度及特异度均高于 WBS。因此,对于前列腺癌高危骨转移患者初诊时常规进行 SPECT/CT 断层融合显像,能早期准确诊断骨转移,从而对医疗资源配置、临床决策的制定及判断预后均具有重要的临床意义。

〔参考文献〕

- [1] 叶定伟,朱耀.中国前列腺癌的流行病学概述和启示.中华外科杂志,2015,53(4):249-252.
- [2] 李亚伦,赵祯,赵丽霞,等.放射性核素骨 SPECT/CT 同机融合显像诊断 SPECT 难于确诊骨病灶.中国医学影像技术,2008,24(10):1641-1643.
- [3] Utsunomiya D, Shiraishi S, Imuta M, et al. Added value of SPECT/CT fusion in assessing suspected bone metastasis: Comparison with scintigraphy alone and nonfused scintigraphy and CT. Radiology, 2006, 238(1):264-271.
- [4] Suzman DL, Boikos SA, Carducci MA. Bone-targeting agents in prostate cancer. Cancer Metastasis Rev, 2014, 33(2-3):619-628.
- [5] Shen G, Deng H, Hu S, et al. Comparison of choline-PET/CT, MRI, SPECT, and bone scintigraphy in the diagnosis of bone metastases in patients with prostate cancer: A meta-analysis. Skeletal Radiol, 2014, 43(11):1503-1513.
- [6] Lee SH, Chung MS, Park KK, et al. Is it suitable to eliminate bone scan for prostate cancer patients with PSA \leqslant 20 ng/mL? World J Urol, 2012, 30(2):265-269.
- [7] Fonager RF, Zacho HD, Langkilde NC, et al. (18)F-fluoride positron emission tomography/computed tomography and bone scintigraphy for diagnosis of bone metastases in newly diagnosed, high-risk prostate cancer patients: Study protocol for a multicentre, diagnostic test accuracy study. BMC Cancer, 2016, 16:10.
- [8] 禹晖,张金赫,尹吉林.SPECT/CT 断层骨显像对骨盆转移性病灶的诊断价值.现代肿瘤医学,2013,21(4):858-860.
- [9] Ndlovu X, George R, Ellmann A, et al. Should SPECT-CT replace SPECT for the evaluation of equivocal bone scan lesions in patients with underlying malignancies? Nucl Med Commun, 2010, 31(7):659-665.
- [10] Nozaki T, Yasuda K, Akashi T, et al. Usefulness of single photon emission computed tomography imaging in the detection of lumbar vertebral metastases from prostate cancer. Int J Urol, 2008, 15(6):516-519.
- [11] Choueiri MB, Tu SM, Yu-Lee LY, et al. The central role of osteoblasts in the metastasis of prostate cancer. Cancer Metastasis Rev, 2006, 25(4):601-609.
- [12] Beheshti M, Langstrøger W, Fogelman I. Prostate cancer: Role of SPECT and PET in imaging bone metastases. Semin Nucl Med, 2009, 39(6):396-407.
- [13] Bjurlin MA, Rosenkrantz AB, Beltran LS, et al. Imaging and evaluation of patients with high-risk prostate cancer. Nat Rev Urol, 2015, 12(11):617-628.
- [14] Helyar V, Mohan HK, Barwick T, et al. The added value of multislice SPECT/CT in patients with equivocal bony metastasis from carcinoma of the prostate. Eur J Nucl Med Mol Imaging, 2010, 37(4):706-713.